

ANALISIS KINERJA EVAPORATOR PADA SISTEM *ORGANIC RANKINE CYCLE* KAPASITAS 500KW

Wahidin¹, Yogi Sirodz Gaos¹, Irvan Wiradinata¹.

¹Program Studi Teknik Mesin Fakultas Teknik & Sains, Universitas Ibn Khaldun Bogor

Corresponden Author :wahidin23312@gmail.com

ABSTRAK

Penelitian ini mengamati kinerja evaporator pada pembangkit tenaga listrik Rankine Cycle (ORC) 500 kW. Tujuan dari penelitian ini adalah untuk menganalisis efisiensi dan kinerja evaporator. Cairan kerja yang digunakan dalam sistem ORC ini adalah n-pentana (C₅H₁₂). Beberapa parameter yang digunakan pada perhitungan termal adalah: Termodinamika; Sifat fluida kerja berdasarkan Refprop; dan efisiensi ORC. Selain itu, penelitian ini menggunakan Heat Transfer Research Inc (HTRI) untuk membandingkan perhitungan manual dan berbasis perangkat lunak. Perhitungan ini menunjukkan bahwa 8.64 persen penyimpangan (1741 tabung dengan perhitungan manual sementara 1782 oleh perhitungan software-base). Data yang diperoleh untuk penelitian ini menunjukkan bahwa sirkulasi air panas di sisi tabung memiliki aliran massa 28.828 kg/s, suhu inlet 164.99 C, suhu outlet 134.99 C. Sementara itu, di sisi shell (n-pentane) memiliki suhu inlet 91.61 C, suhu outlet 140.43 dan aliran massa 10,213 kg / s. Hasilnya menunjukkan bahwa evaporator memiliki efisiensi 66.5 persen, Q air panas (= 3632 kW, panas laten dan panas yang masuk akal = 3886.95 kW).

Kata kunci : *Siklus Rankine Organik, Evaporator, HTRI, Fluida Kerja, Refprop.*

ABSTRACT

This research is observes an evaporator performance in the Organic Rankine Cycle (ORC) 500 kW power plant. The purpose of this research is to analyse the efficiency and performance the evaporator. The working fluid used in this ORC system is n-pentane (C₅H₁₂). Several parameters which were taken into consideration during the thermal calculation are: Thermodynamic; Properties of working fluid based on Refprop; and the ORC's efficiency. Moreover, this research used Heat Transfer Research Inc (HTRI) in order to compare manual and software-based calculation. This calculation shows that 8,64 percent overdesign deviation (1741 tube by manual calculation while 1782 by software-base calculation). Data obtained for this research shows that the hot water circulation in the tube side has a mass flow of 28.828 kg/s, an inlet temperature of 164.99 C , an outlet temperature of 134.99 C . Meanwhile, in the shell side (n-pentane) has an inlet temperature of 91.61 C , an outlet temperature of 140.43 C and a mass flow 10.213 kg/s. The results show that the evaporator has an efficiency of 66.5 percent, Q hot water (= 3632 kW, latent heat and sensible heat = 3886.95 kW.

Keywords : *Organic Rankine Cycle, Evaporator, HTRI, Working Fluid, Refprop.*

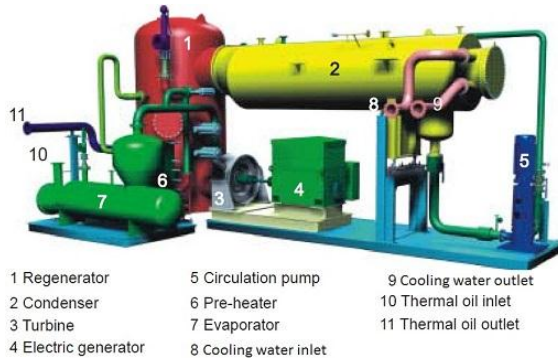
1. PENDAHULUAN

Indonesia merupakan negara yang belum merata pasokan listriknya ke daerah-daerah tertentu. Listrik merupakan salah satu kebutuhan utama bagi manusia untuk kegiatan rumah tangga maupun untuk kegiatan industri pada perusahaan. Kebutuhan listrik di Indonesia berbanding terbalik dengan suplai energi yang tersedia. Indonesia perlu sumber tenaga listrik yang alternatif yang bisa menunjang kebutuhan listrik untuk para penggunanya, oleh sebab itu dibutuhkan sumber energi listrik terbarukan yang efektif.

Organic Rankine Cycle yang sering dikenal dengan sebutan ORC bisa direalisasikan di Indonesia. Indonesia memiliki sumber sumber Geothermal (panas bumi) yang bisa dimanfaatkan untuk membantu sistem ORC. Sumber panas bumi di Indonesia berkisar antara 100°C-220°C untuk sumber panas bumi suhu menengah dan 70°C-100°C untuk sumber panas bumi suhu rendah yang bisa dimanfaatkan untuk pembangkit listrik Binary Cycle seperti Organic Rankine Cycle atau Kalina Cycles (Nugraha, 2015).

ORC merupakan pengembangan dari siklus Rankine dengan menggunakan refrigerant sebagai

fluida kerja untuk menghasilkan energi listrik yang dibutuhkan. Pada ORC memiliki empat komponen penting yaitu evaporator, turbin, kondensor dan pompa (Roy, *et al.*, 2011).

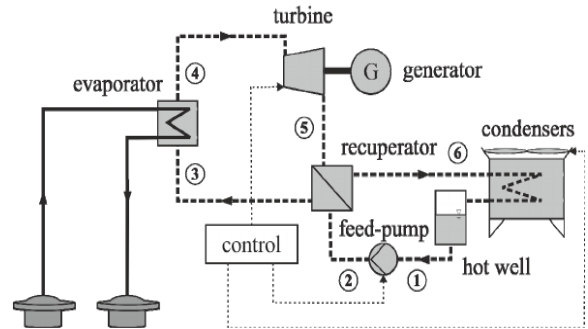


Gambar 1. Komponen ORC

Secara singkat proses yang terjadi pada sistem ORC ini adalah fluida kerja dalam penelitian ini menggunakan n-pentane (C_5H_{12}) sebagai fluida kerjanya yang akan dipompa menuju evaporator untuk membangkitkan uapnya. Kemudian uap tersebut digunakan untuk menggerakkan atau memutar turbin yang diteruskan ke generator untuk menghasilkan energi listrik. Kemudian uap yang digunakan untuk memutar turbin tadi dikirim ke kondensor agar dikondensasikan menjadi kondensat. Pada kondensor ini terjadi pelepasan energi kalor. Lalu fluida tadi kembali di sirkulasi oleh pompa kembali ke evaporator untuk kembali diuapkan dan siklus ini terjadi secara berkesinambungan dan terus-menerus (Gaos, *et al.*, 2015)

Evaporator merupakan salah satu komponen penting yang dibutuhkan sistem ORC. Pada evaporator ini terjadi pelepasan kalor secara evaporasi dan kalor sensibel. Tipe evaporator yang pada ORC ini adalah shell and tube yang mana air panas disirkulasikan melalui tube lalu memanaskan fluida kerja yang ada dalam shell dan uap yang dihasilkan dari fluida kerja dikirim ke turbin untuk memutar generator dan menghasilkan listrik (Ihsan, 2017).

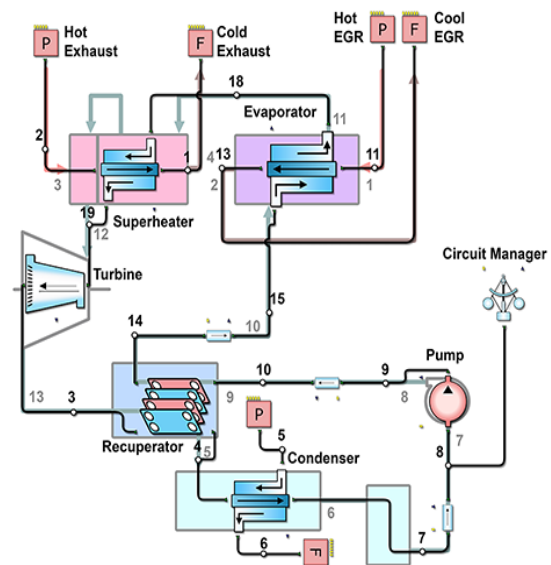
Pada penelitian ini bertujuan untuk mengetahui kinerja yang dihasilkan oleh evaporator dan mengetahui efisiensi yang dihasilkan oleh evaporator pada sistem ORC dengan kapasitas 500 kW. Dengan fluida yang digunakan adalah n-pentane (C_5H_{12}) dengan sumber panas berasal dari Brine Water yang diteruskan ke Hot Water Circulation.



Gambar 2. Organic Rankine Cycle

2. METODOLOGI

a. Skema ORC



Gambar 3. Skema ORC

Tahapan penelitian yang dilakukan adalah dengan memeriksa sistem ORC apakah bekerja dengan baik atau terjadi kebocoran pada salah satu sistem. Kemudian mencari data apa saja yang dibutuhkan untuk menghitung efisiensi dan kinerja evaporator pada sistem ORC yang akan dilakukan penelitian. Data yang diambil melalui indikator yang sudah dipasang pada alat-alat yang akan diteliti seperti pada proses hot water circulation dan evaporator dengan dibantu alat ukur yang terpasang seperti pressure gauge, termometer yang panel kontrol yang tersedia.

Tahapan selanjutnya mencari panas nilai panas spesifik dengan dibantu perangkat lunak Reffrop kemudian dihitung dan hasil hitungan manual di validasi menggunakan perangkat lunak HTRI (Heat Transfer Research Inc.). Adapun tahap penelitian yang akan dilakukan sesuai dengan alur penelitian seperti pada gambar 4.



Gambar 4. Alur Penelitian

3. HASIL DAN PEMBAHASAN

• Data Spesifikasi Alat Penukar Kalor (Evaporator) :

Bahan obyek pada penelitian ini adalah sebuah alat penukar kalor (evaporator) dengan tipe shell and tube dengan aliran fluida contra flow (aliran menyilang). Evaporator ini memiliki spesifikasi teknis yang didapat sebagai berikut (Veriyawan, & Biyanto, 2014):

- Fluida kerja : N-Pentane (C₅H₁₂)
- Sumber Air panas : hot water circulation dari panas bumi.
- Tipe Evaporator : 1 Shell 1 Pass Tube
- Aliran Fluida : Contra Flow. Air panas pada sisi tube dan C₅H₁₂ pada sisi shell.
- Diameter luar tube : 15.875 mm
- Diameter dalam tube : 15.405 mm
- Panjang tube : 6.096 m
- Tube layout 30 yang berarti CL = 0.86

- Pitch ratio : 1.25
- Jumlah tube (NT) : 1782

Berdasarkan data observasi di lapangan maka didapat data rata-rata untuk evaporator seperti dibawah ini :

- Suhu masuk air () : 164.99 C
- Suhu keluar air () : 134.99 C
- Laju aliran massa air () : 28.828 kg/s
- Suhu masuk n-pentane () : 91.61 C
- Suhu keluar n-pentane () : 140.43 C
- Laju aliran massa n-pentane () : 10.213 kg/s

Tabel 1. Sifat Fluida

Simbol	Air (164,99°C)	N-pentane (91,61°C)
ρ (kg/m ³)	902.52	127.74
k (W/m°C)	0.67861	0.088460
C_p (kJ/kg°C)	4.6649	2.6881
Pr	1.0861	3.8816
μ (kg/m.s)	0.0001823	0.0023308

Lalu didapat sifat fluida dari data diatas dengan menggunakan Refprop:

Dimana ρ adalah massa jenis, k adalah konduktivitas termal, C_p adalah kalor spesifik, Pr adalah bilangan Prandtl dan μ adalah viskositas kinematik.

• Perhitungan Kalor yang Dilepaskan

kalor yang dilepaskan oleh fluida panas bisa dihitung dengan menggunakan rumus temperatur bulk (T_b) sebagai berikut :

$$T_b = \frac{T_1 - T_2}{2} = \frac{164.99 - 134.99}{2} = 15^\circ\text{C}$$

Jadi bisa kita ambil panas spesifiknya dari suhu 15°C untuk menghitung Q_{hot} :

$$Q_{hot} = Q_{water}$$

$$Q_{hot} = (\dot{m} \times C_p \times \Delta T)_{hot}$$

$$= 28.828 \text{ kg/s} \times 4.1888 \text{ kJ/Kg}^\circ\text{C} \times 30^\circ\text{C}$$

$$= 3622 \text{ kW}$$

• Perhitungan Latent Heat

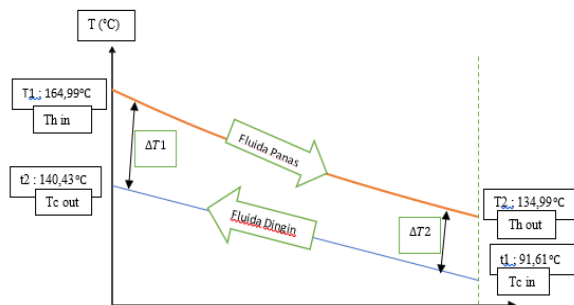
Latent heat merupakan panas yang diperlukan untuk merubah fasa atau wujud benda dengan suhu yang tetap (Bao & Zhao, 2013).

$$\begin{aligned} Q \cdot \text{cold} &= Q \cdot \text{N-Pentane} \\ Q \cdot \text{N-Pentane} &= (m \cdot h_{\text{latent}}) \\ &= 10,213 \text{ kg/s} \times 305,87 \text{ kJ/kg} \\ &= 3123 \text{ kW} \end{aligned}$$

Maka tingkat total penghilang panas pada evaporator adalah :

$$Q \cdot \text{Evaporator} = 3622 \text{ kW} + 3123 \text{ kW} = 6745 \text{ kW}$$

• Perhitungan Beda Suhu Rata-Rata (LMTD)



Gambar 5. Perbedaan Suhu Aliran Berlawanan

$$\begin{aligned} \Delta T1 &= T_{\text{Hot in}} - T_{\text{Cold out}} \\ &= 164.99 - 140.43 \\ &= 24.56^\circ\text{C} \end{aligned}$$

$$\begin{aligned} \Delta T2 &= T_{\text{Hot out}} - T_{\text{Cold in}} \\ &= 134.99 - 91.61 \\ &= 43.38^\circ\text{C} \end{aligned}$$

$$\begin{aligned} \Delta T_{\text{LMTD}} &= \frac{\Delta T1 - \Delta T2}{\ln(\Delta T1 \div \Delta T2)} \\ &= \frac{24.56 - 43.38}{\ln(24.56 \div 43.38)} = 33,1^\circ\text{C} \end{aligned}$$

• Koefisien Perpindahan Panas Menyeluruh

Untuk mendapatkan koefisien perpindahan panas menyeluruh kita bisa menghitungnya menggunakan luas permukaan yang telah didapat (Sirodz, 2018)

$$\begin{aligned} A_o &= \pi d_o L N_t \\ &= 3,14 \times 0,015875 \times 6,096 \times 1782 \\ &= 541,5 \text{ m}^2 \end{aligned}$$

Koefisien Perpindahan Panas Konveksi Didalam Pipa. Perhitungan koefisien perpindahan panas konveksi dibantu dengan

data dari *Refroop* dan data velositi yang didapat 0,14 m/s. Dengan data ini maka perhitungan bilangan *Reynolds* seperti pada perhitungan dibawah ini :

$$\begin{aligned} Re &= \frac{\rho \times v \times d}{\mu} \\ &= \frac{902,52 \frac{\text{kg}}{\text{m}^3} \times 0,14 \frac{\text{m}}{\text{s}} \times 0,015405 \text{ m}}{0,0001823} \\ &= 23962,39 \end{aligned}$$

Dimana v adalah Velositi fluida (m/s), d adalah Diameter pipa (m), μ adalah Visikositas kinematik (m^2/s). Dari data diatas kita bisa menghitung bilangan *Nusselt* (Cengel & Pérez, 2004).

$$\begin{aligned} Nu &= 0,23 \times Re^{0,8} \times Pr^{0,4} \\ Nu_h &= 0,23 \times 23962,39^{0,8} \times 1,0861^{0,4} \\ &= 758,05 \end{aligned}$$

$$\begin{aligned} Nu_c &= 0,23 \times 23962,39^{0,8} \times 3,8816^{0,3} \\ &= 1101,67 \end{aligned}$$

Lalu selanjutnya kita menghitung koefisien perpindahan panas konveksi bagian luar dan bagian dalam. Koefisien perpindahan panas konveksi bagian luar (h_o)

$$\begin{aligned} h_o &= \frac{Nu_c \times k}{D_o} = \frac{1101,67 \times 0,088460 \text{ W/m}^\circ\text{C}}{0,015875 \text{ m}} \\ &= 613,888 \text{ W/m}^2^\circ\text{C} \end{aligned}$$

Koefisien perpindahan panas konveksi bagian dalam (h_i)

$$\begin{aligned} h_i &= \frac{Nu_h \times k}{D_o} = \frac{758,05 \times 0,0023308 \text{ W/m}^\circ\text{C}}{0,015405 \text{ m}} \\ &= 114,694 \text{ W/m}^2^\circ\text{C} \end{aligned}$$

Jadi koefisien perpinadahan panas menyeluruhnya adalah (U) :

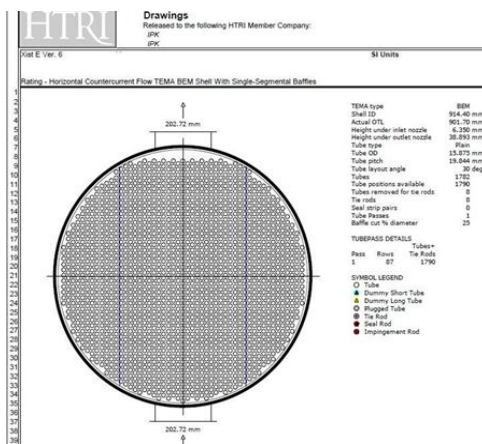
$$\begin{aligned} U &= \frac{1}{\frac{1}{h_i} + \frac{L}{k} + \frac{1}{h_o}} \\ U &= \frac{Q}{A \times \Delta T_m} = \frac{6745 \text{ kW}}{6096 \text{ m} \times 33,1^\circ\text{C}} \\ &= 3342 \text{ W/m}^2^\circ\text{C} \end{aligned}$$

Setelah mendapatkan niala A_o maka hasil koefisien perpindahan panas *clean* bisa dihitung dengan persamaan dibawah ini :

$$\begin{aligned} U_c &= \frac{Q}{A \cdot F_T \cdot \Delta T_{\text{LMTD}}} = \frac{4016 \text{ kJ/kg}^\circ\text{C}}{541,5 \text{ m}^2 \times 0,7 \times 14} \\ &= 756 \frac{\text{W}}{\text{m}^2^\circ\text{C}} \end{aligned}$$

HTRI HEAT EXCHANGER SPECIFICATION SHEET									
1	Job No.	Reference No.	Date	Rev	Item No.	Series	Shell/Unit (Gross/Net)	541.76 / 533.26	m ²
2	Customer	Job No.	Reference No.	Date	Rev	Item No.	Series	Shell/Unit (Gross/Net)	541.76 / 533.26
3	Plant Location	Job No.	Reference No.	Date	Rev	Item No.	Series	Shell/Unit (Gross/Net)	541.76 / 533.26
4	Service of Unit	Job No.	Reference No.	Date	Rev	Item No.	Series	Shell/Unit (Gross/Net)	541.76 / 533.26
5	Size	914.4 x 6096.9 mm	Type	BEM	Horizontal	Connected In	1 Parallel	1 Series	
6	Shell/Unit (Gross/Net)	541.76 / 533.26	m ²						
7	Fluid Allocation	2 or 3	Tube Side						
8	Fluid Name	Water	Tube Side						
9	Fluid Quantity, Total	36785	kg/hr						
10	Vapor (m ³ /hr)	36785							
11	Liquid	36785							
12	Steam	103781							
13	Water	103781							
14	Noncondensables								
15	Temperature (In/Out)	C	91.61	140.43	164.99	134.99			
16	Specific Gravity	kg/m ³	0.5487	0.1902	0.6903	0.6184			
17	Viscosity	mN-s/m ²	0.1310	0.0102	0.1636	0.2007			
18	Molecular Weight, Vapor	kg/kg-C	2.7152	2.4764	4.6449	4.5034			
19	Molecular Weight, Noncondensables	kg/kg-C	0.0847	0.0267	0.6830	0.6881			
20	Thermal Conductivity	W/m-K	0.0847	0.0267	0.6830	0.6881			
21	Latent Heat	kJ/kg	241.70						
22	Inlet Pressure	kPa	1350.0		1250.0				
23	Velocity	m/s	0.25		0.14				
24	Pressure Drop, Allow/Calc	kPa	0.000	10.522	0.000	2.575			
25	Fouling Resistance (min)	m ² -KW	0.00000		0.00000				
26	Heat Exchanged	549892	W	517.58	W/m ² -K	Actual	556.85	W/m ² -K	
27	Transfer Rate, Service	Clean	744.45	W/m ² -K	MTD (Corrected)	14.5	C		
28	Design/Total Pressure	kPaG	1248.7	1148.7					
29	Design Temperature	C	164.99	164.99					
30	No Passes per Shell		1	1					
31	Common Allowance	mm							
32	Connections	In	1 @ 202.72	1 @ 154.05					
33	Size & Rating	Out	1 @ 202.72	1 @ 154.05					
34	Tube No.	1782							
35	Tube Type	Plain	OD 15.875 mm	Thk(Avg) 1.851 mm	Length 6.096 m	Pitch 19.044 mm			
36	Shell	Carbon steel	ID 914.40 OD 936.83 mm	Shell Cover					
37	Channel or Baffle			Channel Cover					
38	Tube-sheet Stationary			Tube-sheet Floating					
39	Flanging Head Cover			Impingement Plate	None				
40	Baffles Cross	Type Single-Seg	%Cut (Nom)	25	Spacing(CS)	545.48	Inlet 545.48 mm		
41	Baffles Long	U-Bend	Seal Type	None					
42	Support Tube								
43	Bypass Seal Arrangement	0 pairs seal strips	Tube-Tube-sheet Joint	Expanded (no groove)	Type	None			
44	Expansion Joint								
45	Flow Inlet Nozzle	182.54	kg/m-s ²	Bundle Entrance	180.42	Bundle Exit	1101.1	kg/m-s ²	
46	Sealants-Shell Side			Tube Side					
47	Flanging Head								
48	Code Requirements			TEMA Class	R				
49	Weight/Shell	10882	kg	Filled with Water	15097	kg	Bundle	6715.5	kg
50	Remarks								
51									
52									
53									
54									
55									
56									
57									
58									
59									
60									
61									
62									
63									
64									
65									
66									
67									
68									
69									
70									
71									
72									
73									
74									
75									
76									
77									
78									
79									
80									
81									
82									
83									
84									
85									
86									
87									
88									
89									
90									
91									
92									
93									
94									
95									
96									
97									
98									
99									
100									

Gambar 8. Hasil HTRI 2



Gambar 9. Hasil HTRI 2

Kemudian hasil yang didapat dari HTRI dibandingkan dengan hitungan manual seperti pada tabel 2.

Tabel 2. Hasil Hitungan Manual dan HTRI

Konstruksi			
Data	Nilai Optimum (Hitungan Manual)	HTRI	Unit
Do	15.875	15.875	mm
L	6.096	6.096	m
Nt	1741	1782	pcs
Ds	937	936	mm
U_c	756	744.45	W/m ² °C

4. KESIMPULAN

1. Dalam hasil hitungan yang dilakukan adalah dengan mengambil suhu masuk dan keluar yang terdapat pada data dengan laju aliran yang tertera di data pada saat pengambilan data berlangsung dengan mendapatkan

kapasitas APK dari perhitungan data pengoprasian disisi sirkulasi air panas, $Q_{hw} = 3622$ kW

2. Dari analisis perhitungan latent heat dan sensible heat mendapatkan sebesar, $Q_{np} = 3886,95$ kW. Perbedaan laju perpindahan kalor pada sisi sirkulasi air panas dengan hasil perhitungan latent heat dan sensible heat terjadi laju perpindahan panas pada shell evaporator.
3. Jumlah tube perhitungan secara manual akan dibandingkan dengan jumlah perhitungan menggunakan Software HTRI yang telah ada, didapat perbedaan tube dengan perhitungan desain yang ada, pada perhitungan manual terdapat 1741 tube sedangkan pada desain yang telah ada pada HTRI adalah 1782. Memiliki koefisien perpindahan panas menyeluruh clean 756 W/m²°C sedangkan pada perhitungan HTRI sebesar 744.45 W/m²°C dengan efisiensi sekitar 66.5% yang baik untuk ukuran ORC geothermal. Dari jumlah perbedaan yang didapat kemudian HTRI menyimpulkan terjadinya Over Design sebesar 8.64%. Jadi kinerja yang didapat dari evaporator adalah baik dan optimal sesuai yang diharapkan.

5. DAFTAR PUSTAKA

- Bao, J., & Zhao, L. (2013). A review of working fluid and expander selections for organic Rankine cycle. *Renewable and sustainable energy reviews*, 24, 325-342.
- Cengel, Y. A., & Pérez, H. (2004). Heat transfer: a practical approach. *transferencia de calor*.
- Gaas, Y. S., Juarsa, M., Marzuki, E., & Yulianto, M. (2015). Pemilihan fluida kerja pada pengembangan Organic Rankine Cycle. *AME (Aplikasi Mekanika dan Energi): Jurnal Ilmiah Teknik Mesin*, 1(1), 34-38.
- Ihsan, S. (2017). Perencanaan dan Analisa Perhitungan Jumlah Tube dan Diameter Shell pada Kondensor Berpendingin Air pada Sistem Refrigerasi NH 3. *J. Teknol. PROSES DAN Inov. Ind*, 2(1), 14-15.

- Nugraha, A. V., & TK, B. F. (2015). Desain Alat Penukar Kalor Jenis Shell and Tube Sebagai Evaporator Untuk Pembangkit Listrik Tenaga Panas Bumi Suhu Rendah Dengan Menggunakan Sistem Organic Rankine Cycle (Orc). *JURNAL TEKNIK MESIN*, 3(3), 326-335.
- Roy, J. P., Mishra, M. K., & Misra, A. (2011). Performance analysis of an Organic Rankine Cycle With Superheating Under Different Heat Source Temperature Conditions. *Applied Energy*, 88(9), 2995-3004.
- Sirodz, Y. (2018). Optimasi Desain Alat Penukar Kalor Gas Buang untuk Pemanas Air Degreaser. *TEKNOBIZ: Jurnal Ilmiah Program Studi Magister Teknik Mesin*, 8(3), 94-100.
- Veriyawan, R., & Biyanto, T. R. (2014). Optimasi Desain Heat Exchanger dengan Menggunakan Metode Particle Swarm Optimization. *Jurnal Teknik ITS*, 3(2), B210-B215.